



بررسی وجود حباب قیمتی در بازار سهام تهران با استفاده از رهیافت LPPL

حجت‌الله عبد‌الملکی^۱
شاپور محمدی^۲
ساجده کمالی^۳
رضا وزیری^۴

چکیده

حباب‌های مالی یکی از اصلی ترین مسائلی است که اقتصاد مدرن، امروزه با آن در ارتباط می‌باشد. به سبب ارتباط مستقیم آن با بحران‌های مالی، همواره حقیقین در پی روش‌هایی برای درک این پدیده، تشخیص وجود آن و زمان سقوط‌ش، همچنین تخمین حجم سقوط و زیان حاصل از آن بوده‌اند. یکی از روش‌های ارائه شده برای شناسایی حباب‌ها، مدل قانون توافقی تناوب لگاریتمی (LPPL) است که رشد سریع‌تر از نایابی در قیمت دارایی با نوسانات تسريع شونده را به عنوان عامل اصلی تشخیص حباب در نظر می‌گیرد. این مدل با موفقیت در بسیاری از بازارهای جهان برای شناسایی حباب‌ها و پیش‌بینی زمان سقوط آن‌ها به کار رفته؛ لیکن در ایران برای اولین بار، در این پژوهش اجرا شده است. در این مقاله، به منظور بررسی وجود حباب و پیش‌بینی سقوط متعاقب شاخص قیمت و بازده نقدی در بازه زمانی ۱۳۸۷-۱۳۸۴ از مدل قانون توافقی تناوب لگاریتمی استفاده شده است. در ادامه جهت اطمینان از وجود تناوب لگاریتمی در داده‌ها، تحلیل طیفی Lomb روی داده‌ها اجرا شده است. نتایج، برآذش خوب داده‌ها با مدل را نشان داده و همچنین تحلیل طیفی Lomb به خوبی وجود تناوب لگاریتمی را تأیید نموده است؛ از این رو می‌توان نتیجه گرفت داده‌ها، رفتاری مطابق با مدل LPPL دارند. مدل در این بازه زمانی یک حباب را شناسایی کرده، همچنین پیش‌بینی معقولی از زمان بحرانی این حباب ارائه داده است. واژگان کلیدی: سقوط بازار سهام، حباب مالی، قانون توافقی تناوب لگاریتمی (LPPL)، تحلیل طیفی Lomb، جستجوی منوعه، الگوریتم لونبرگ- مارکوارت.

۱- مقدمه

بازار سرمایه از مهم‌ترین ابزارهای تجهیز و تخصیص منابع مالی به شمار می‌رود؛ بورس اوراق بهادار یکی از ارکان این بازار می‌باشد. بورس از طریق جذب و به کار انداختن سرمایه‌های راکد، حجم سرمایه -

- ۱- استادیار گروه اقتصاد دانشکده معارف اسلامی و اقتصاد دانشگاه امام صادق
- ۲- دانشیار گروه مدیریت مالی و بیمه دانشکده مدیریت دانشگاه تهران
- ۳- دانش آموخته مدیریت صنعتی- مالی دانشگاه آزاد اسلامی واحد تهران مرکز (مسئول مکاتبات)

kamali_sajedeh@yahoo.com

-۴- دانش آموخته مهندسی پزشکی دانشگاه صنعتی شریف

گذاری در جامعه را بالا می برد و به تأمین نیازهای سرمایه گذاری واحدهای تولیدی کمک می کند، میان عرضه کنندگان و تقاضاکنندگان ارتباط برقرار نموده، معاملات بازار سرمایه را تنظیم می کند. چنانچه افزایش قیمت دارایی‌ها در این بازار، متناسب با ارزش ذاتی آنها و فاکتورهای کلان اقتصادی نباید، می تواند اثرات زیانباری برای کل اقتصاد رقم بزند. ارقام ذیل تنها گوشه‌ای از اثرات زیان بار حباب را نشان می دهند. در سقوط سال ۱۹۲۹ بازار تنها ظرف ۲ روز، ۳۰ میلیارد دلار از دست داد، تولیدات و تجارت بین المللی از ۶۳ میلیارد دلار به ۲۶ میلیارد دلار کاهش یافت، شمار بیکار شدگان در ایالات متحده آمریکا به ۱۳ میلیون، در انگلستان ۳ میلیون و در آلمان به ۶ میلیون بالغ گردید و همچنین عامل اصلی جنگخانمان سوز جهانی دوم بود. ۲۵ سال طول کشید تا شاخص داوجونز به میزان اولیه اش یعنی ۳۸۱ واحد در نوامبر ۱۹۵۴ برسد.

سقوط بازار اوراق بهادرار روی سایر دارایی‌ها و بازارهای مالی نیز تأثیر می‌گذارد. با توجه به نقش وام دهی بانک‌ها در شکل‌گیری و گسترش حباب، ترکیدن حباب نیز متقابلاً موجب فشار اقتصادی بر بانک‌ها می‌گردد. سقوط شدید قیمت موجب می‌شود سود شرکتها و مؤسسات کاهش یابد، مصرف و سرمایه گذاری کم شود، سرمایه گذارانی که به منظور خرید اوراق بهادرار از بانک‌ها و مؤسسات اعتباری وام گرفته اند، قادر به پرداخت بهره این بانک‌ها و مؤسسات خواهند بود، بانک‌ها زیان می‌بینند، ارزش وثیقه برای وام کاهش می‌یابد، سود بانک‌ها کم می‌شود، عرضه وام کاهش می‌یابد و گاهی این رویه تا جایی ادامه پیدا می‌کند که موجب ورشکستگی بانک‌ها می‌شود که متعاقب آن شرکت‌ها، کارخانه‌ها و ... نیز به سبب از دست دادن مصرف کنندگان و تأمین کنندگان سرمایه خود ورشکسته خواهند شد. با توجه به اثرات و پیامدهای حباب قیمتی، شناسایی حباب علاوه براین که برای بازارهای کلان اقتصادی ضروری است به سرمایه‌گذاران نیز کمک می‌کند.

هدف این پژوهش، بررسی وجود حباب قیمتی در بازار سهام تهران در سال‌های ۱۳۸۷-۱۳۸۴ هجری شمسی با استفاده از رهیافت LPPL (قانون توافق تناوب لگاریتمی) است.

۲- مبانی نظری و پیشینهٔ تحقیق:

در ادبیات اقتصادی، زمانی که قیمت دارایی از جریانات نقدی آتی مورد انتظار آن (بدون توجیه بنیادی و اقتصادی) اخراج داشته باشد، بحث حباب مطرح می‌شود. برای "حباب" تعاریف متعددی ارائه شده است.

از جمله آن‌ها می‌توان به موارد ذیل اشاره نمود:

فرهنگ لغت وبستر^۱ "حباب" را این‌گونه تعریف می‌کند: " چیزی که فاقد ثبات^۲، استواری^۳ و واقعیت^۴ باشد و وضعیت رونق سریع فعالیت های اقتصادی است که اغلب با سقوط ناگهانی پایا نمی‌یابد"^۵ [۲۷] و چارلز

¹- Webster Dictionary

²- Firmless

³- Solidity

⁴- Reality

کیندل برگر^۹ در دیکشنری اقتصادی جدید پالگریو^{۱۰}، حباب را این گونه تعریف کرده است: " حباب، افزایش شدید در قیمت یک دارایی یا طیف وسیعی از دارایی‌ها به طور مستمر^{۱۱} می‌باشد، با افزایش اولیه ای که انتظار افزایش بیشتری را برای خریداران جدید (خصوصاً سفته بازانی که به جای ظرفیت سودسازی در دارایی، تایل بیشتری به خرید و فروش سهام دارد). ایجاد می‌کند"^[۱۹]. فرهنگ لغت آکسفورد، حباب را شکننده، بی‌اساس، تو خالی یا بی‌ارزش و یک نمایش فریبند معرفی نموده و معمولاً به رویدادهای تجارتی و مالی بی‌اساس و فریبند اطلاق می‌شود"^[۲۳]. حباب، نوعی پیامد حاصل از سرمایه گذاریست که ضعف برخی از جنبه‌های روحی و احساسی بشر را شرح می‌دهد^[۱۱]. حباب، تغییرات قیمتی است که با استفاده از ارزش بنیادی قابل توضیح نمی‌باشد^[۱۱].

عوامل بنیادی اشاره به فاکتورهای اقتصادی (نظیر: جریانات نقدی و نرخ‌های بهره) دارد که با یکدیگر قیمت دارایی را تعیین می‌غایند.

▪ سیر شکلگیری حباب‌ها

کیندل برگر (۲۰۰۰) و سورنت (۲۰۰۳) سناریوی عمومی که در تمامی حباب‌های تاریخی معمول است را به صورت جا به جایی، رشد و افزایش قیمت‌ها، فراوانی (وفور)، مرحله مجرانی، شکست و سقوط بیان می‌دارند^[۱۲].

▪ پیشینه تحقیق

پیامدها و بی‌ثباتی‌های ناشی از حباب، سبب شده بسیاری از محققان از دیرباز در پی درک این پدیده، دلایل شکل گیری آن، روشی برای تشخیص وجود آن و همچنین راهی برای پیش‌بینی زمان سقوط آن باشند. به برخی از این مطالعات در ذیل اشاره شده است:

* اولین تحقیق در مورد حباب‌ها در بازار سهام، توسط رابرت شیلر در مقاله‌ای با عنوان " آیا تغییرات قیمت سهام، تابعی از ارزش‌های جریان سود نقدی زمان حال و آینده است یا خیر؟" ارائه شد. شیلر در این مقاله با استفاده از داده‌های سالانه ۱۹۷۹-۱۸۷۱ وجود بهره‌گیری از آزمون کران واریانس به این نتیجه رسید که تغییرات قیمت‌ها به وسیله تغییر در ارزش حال جریان سود نقدی، قابل توضیح نیستند^[۲۰].

* Boucher (۲۰۰۳) با استفاده از تست بلانچارد - واتسون (۱۹۹۲) وجود حباب‌ای تورم یعلایی را در بازار سهام آمریکا از ۱۸۷۱ تا ۲۰۰۱ و برای فرانسه از ۱۹۵۱ تا ۲۰۰۲ تأیید نمود. ولی بوسیله مدل MTAR در بلند مدت، وجود حباب‌های تورمی یعلایی را برای ایالات متحده و فرانسه در دوره‌های مذکور رد کرد^[۶].

* کاوستز و سرلیتز (۲۰۰۵)، با استفاده از تکنیک هم انباشتگی کسری و مدل ARFIMA به بررسی وجود ریشه واحد در لگاریتم قیمت-سود سهام شاخص S&P500 و این فرضیه که شوک‌های بروزن را آثار همیشگی دارند پرداختند. بر طبق نتایج تجربی، فرضیه صفر یعنی وجود ریشه واحد و در

^۵- چارلز کیندلبرگر، پروفسور دانشگاه MIT و مولف کتاب معروف " شیدایی‌ها، هراس‌ها و سقوط‌ها: تاریخچه ای از مجران‌های مالی"

¹⁰- New Palgrave: a Dictionary of Economics

¹¹- continuous

نتیجه وجود حباب عقلایی در شاخص به شدت رد می شود، که بیانگر آن است که لگاریتم قیمت- سود سهام، نوعی فرایند میانگین معکوس است [۱۳].

* بروکس و کاتساریس در سال ۲۰۰۶ به بررسی حباب‌سفلت بازی در شاخص صنعت S&P500 در دوره زمانی ۱۹۷۶-۲۰۰۱ با استفاده از رویکرد تغییر رژیم پرداختند. آنها در این پژوهش به این نتیجه رسیدند که طی دوره مورد بررسی، در بیش از ۷۰٪ از شاخص S&P500 و ۷ شاخص از ۱۰ شاخص مرکب صنعت رفتار شبیه حباب دیده می شود و این رفتار به خصوص در شاخص قیمتی صنایع IT، خبرات و ارتباطات و رسانه بیشتر مشهود است [۹].

* نانز و دی ای سیلو (۲۰۰۸)، با استفاده از هم انباشتگی متعارف و هم انباشتگی آستانه ای به بررسی وجود حباب در ۲۲ بازار سهام نوظهور پرداختند. مدل هم انباشتگی یوهانسن، انگل-گرجر، TAR، M-TAR، TAR سازگار و M-TAR سازگار بررسی شدند. طبق نتایج، تمامی بازارهای نوظهور وجود حباب را نشان دادند. ۱۸ بازار دارای حباب-های انفجاری^{۱۲} و ۴ بازار فاقد حباب‌های انفجاری (شیلی، اندونزی، کره و فیلیپین) بودند [۸].

* چان و وو (۲۰۰۸) با بسط تحلیل Wu و Xiao (2002) آزمون جدیدی را برای شناسایی وجود حباب‌های ریشه انفجاری تصادفی مطرح کردند. آنها آزمون خود را روی سری داده‌های شاخص ماهانه قیمت سهام، بازده‌های سود و شاخص‌های قیمت برای بازارهای سهام تایوان، مالزی، اندونزی، فیلیپین، تایلند و کره جنوبی در بازه زمانی مارس ۱۹۹۱ تا اکتبر ۲۰۰۵ اجرا کردند. نتایج نشان دهنده شواهدی از وجود حباب در بازارهای تایوان، مالزی، اندونزی، فیلیپین و بود، اما هیچ مدرکی دال بر وجود حباب در کره جنوبی مشاهده نشد [۱۰].

* لین و همکاران (۲۰۰۹) مدل خودسازگار LPPL را برای حباب‌های مالی عقلایی روی شاخص S&P500 در بازه زمانی ۳ ژانویه ۱۹۵۰ تا ۲۱ نوامبر ۲۰۰۸ به کار گرفتند. نتایج حاصل نشان می‌دادند که مدل LPPL در سطح اطمینان ۹۹٪ به درستی زمان‌های مجرانی را در اکتبر ۱۹۸۷، اکتبر ۱۹۹۷، آگوست ۱۹۹۸ و پایان حباب ITC را در ۳ ماهه اول (ربع اول) سال ۲۰۰۰ میلادی تشخیص داد [۱۵].

* کی‌جئرو و همکاران (۲۰۰۹) با استفاده از مدل قانون توانی تناوب لگاریتمی سورنت برای داده‌های برآذش روزانه بازار سهام برزیل، توانایی شناسایی توسعه حباب‌ها و سقوط‌ها در تک تک سهام را آزمون می‌کنند. آنها نشان دادند که الگوریتم ژنتیک می‌تواند برای کالیبره کردن پارامترهای معادله قانون توانی تناوب لگاریتمی به کار رود و مفید بودن این روش در تخمین لایکلی هود (درستنمایی) سقوط‌ها با استفاده از آماره‌های ناپارامتری را آزمون می‌کنند. نتایج تجربی نشان دادند که این روش در پیش‌بینی سقوط‌های مالی مفید می‌باشد [۹].

^{۱۲}- Explosive Bubble

* ژو و سورنت (۲۰۰۹) به مطاله موردي حباب‌های سفت‌هه بازی در بازار سهام آفریقای جنوبی طی دوره ژانویه ۲۰۰۳ تا می ۲۰۰۶ پرداختند. آنها حباب را شتاب سریع‌تر از نمایی با نوسانات چشمگیر متناوب لگاریتمی تعریف می‌کنند و مشخصات متناوب لگاریتمی این سهام را با استفاده از ۴ روش مختلف "برازش پارامتری با معادل θ LPPL، مدل Weierstrass، روش دترنده‌کننده پارامتری و تحلیل H,q " مورد بررسی قراردادند، ۴ تکنیک برآوردهای سازگاری را برای مقدار فرکانس لگاریتم زاویه ای (۱۵) ارائه دادند. همچنین آنها داده‌های ۶ ماه پس از زمان تحلیل را در نظر گرفته و مشاهده کردند که تعداد زیادی از سهام در بازار آفریقای جنوبی یک افت ناگهانی و شدید را در نیمه ژوئن ۲۰۰۶ داشته‌اند که با زمان جرانی (t_c) پیش‌بینی شده برای برخی از سهام (نه تمام سهام) مطابقت دارد و نشان‌دهنده این می‌باشد که سقوط کوچک رخ داده در حدود نیمه ژوئن ۲۰۰۶ صرفاً اصلاحی جزئی بوده که شتاب حبابی مجدد خود را تا پایانش در ۲۰۰۷ از سرگرفته است [۲۶].

* باستییانسن و همکاران با استفاده از روش LPPL به تحلیل سری‌های زمانی شاخص مرکب سهام شانگهای (SSE) در دوره ۱۵ اکتبر ۲۰۰۸ تا ۹ جولای ۲۰۰۹ پرداختند. نتایج تحلیل، اثر واضحی از وجود حباب را نشان داد، همچنین آنها پیش‌بینی از محتمل‌ترین تاریخ سقوط حباب (۲۲-۱۷ جولای ۲۰۰۹ با ۸۰-٪۲۰ فاصله اطمینان) ارائه دادند [۵].

* بری و جوزف (۲۰۱۰) با استفاده از روش LPPL به بررسی شاخص بازار سهام هانگ‌سنگ در دوره ای بالغ بر ۳۰ سال پرداختند. آنها سقوط را در بازار هانگ‌سنگ در دوره ۱۹۷۰-۲۰۰۸ شناسایی کردند. آنها با برآذش LPPL توanstند سقوط مهم در شاخص هانگ‌سنگ را در افت اخیر جهانی پیش‌بینی کنند [۷].

* جیانگ و همکاران (۲۰۱۰) با استفاده از روش LPPL به شناسایی حباب‌های قیمتی و پیش‌بینی سقوط‌های متعاقب بازار آن در سال‌های ۲۰۰۵-۲۰۰۷ و ۲۰۰۸-۲۰۰۹ در شاخص‌شن زن و شانگهای چین پرداخته‌اند. آنها وجود و تاریخ جرانی هر دو حباب و همچنین زمان سقوط آنها را با استفاده از این مدل پیش‌بینی نمودند [۱۲].

* پله و مارینسکیو (۲۰۱۲) به بررسی رفتار حباب با استفاده از مدل قانون توانی تناوب لگاریتمی در بورس سهام چهارست پرداختند. آنها از داده‌های روزانه شاخص BET-FI در بازه زمانی ۲۰۰۸-۲۰۰۱ استفاده کردند و نتیجه گرفتند مدل LPPL ابزار مفیدی برای تشخیص رفتار حباب است و قابلیت پیش‌بینی نقطه جرانی را داراست [۱۷].

* واعظ و ترکی (۱۳۸۷)، در پژوهش خود به بررسی وجود یا عدم وجود حباب قیمتی در بازار سهام ایران با استفاده از تکنیک RALS و کاربرد روش شبیه‌سازی مونت کارلو پرداخته‌اند. یافته‌های پژوهش نشان دادند که قیمت سهام از مسیر تعادلی بلندمدت نحرف شده، بنابراین در بازار سرمایه ایران وجود حباب قیمت به اثبات می‌رسد [۴].

* سعید صمدی، محمد واعظ برزانی، محمد رضا قاسی (۱۳۸۸) در پژوهش خود تحت عنوان تحلیل رفتاری شکل گیری حباب قیمت در بازار

سرمایه (مطالعه موردی بورس اوراق بهادار تهران ۱۳۷۶-۱۳۸۷) پس از استخراج فرایند حباب به وسیله شکل فضای حالت و فیلتر کالمن، به محاسبه اندازه تأثیر این رفتار بر جزو حباب پرداخته اند. نتیجه حاصل از این پژوهش نشان می داد که فرایند حباب عقلایی تصادفی در بورس سهام تهران به وسیله رفتار رمه ای و مُدگرایی و عواملی که باعث کاهش امنیت روانی عاملین بازار می شود، قابل توضیح است [۱].

۳- فرضیه تحقیق:

در بازار سهام تهران و در دوره مورد بررسی، در بازه زمانی ۱۳۸۷-۱۳۸۴ پدیده حباب قیمتی رخ داده است.

۴- روشناسی تحقیق

روش تحقیق در این پژوهش، توصیفی است و در تحقیقات توصیفی از نوع پس رویدادی می‌باشد. همچنین از نوع تحقیقات موردنگاه‌پیاست؛ چرا که مقطع خاصی از زمان را بررسی می‌نماید. جامعه آماری پژوهش، داده‌های شاخص قیمت و بازده نقدی بازه زمانی ۱۳۸۴-۱۳۸۷ است. جهت گردآوری اطلاعات از داده‌های مرکز آمار، داده‌های بورس اوراق بهادار و شرکت فناوری بورس، داده‌های بانک مرکزی و همچنین از منابع کتابخانه ای و مقالات منتشر شده در نشریات تخصصی داخلی و خارجی استفاده شده است. جهت محاسبه متغیرها، از نرم افزارهای MATLAB و Excel استفاده شده است. در این پژوهش برای شناسایی^{۱۳} حباب‌ها و پیش‌بینی^{۱۴} زمان مجرانی^{۱۵} آنها، سری‌های زمانی مورد نظر با یک مدل قانون توانی تناوب لگاریتمی (LPPL)^{۱۶} برآش می‌شوند. همچنین جهت اطمینان از وجود تناوب لگاریتمی در داده‌ها، تحلیل طیفی Lomb را روی داده‌ها به دو روش دترند و مشتق ($D_q^H f(x)$) اجرا کرده و نتایج را با مقادیر به دست آمده از برآش مدل مقایسه نموده ایم.

۴-۱- مدل تحقیق

اکثر دیدگاه‌ها برای شرح و توضیح سقوط‌ها به جستجوی مکانیزم‌های اثراتی می‌پردازند که در مقیاس زمانی بسیار کوتاهی (ساعت‌ها، روزها یا حداقل هفته‌ها) عمل می‌کنند. سورنت و همکاران دیدگاه کاملً متفاوتی را پیشنهاد می‌دهند. به اعتقاد آنها علت اصلی بیشتر سقوط‌ها را باید از ماه‌ها و سال‌ها قبل از آن سقوط جستجو کرد [۲۱]. از نظر آنها سقوط بدین سبب رخ می‌دهد که بازار وارد یک مرحله (حالت) بیثبات شده و هر فرایند یا اختلال کوچکی می‌تواند منجر به بیثباتی شود. خط کشی که به طور عمودی بر روی یک انگشت قرار گرفته را در نظر بگیرید، این حالت بسیار بیثبات، عاقبت در اثر یک حرکت کوچک دست یا وزیدن یک نسیم فرو خواهد افتاد. می‌توان گفت اساساً سقوط به واسطه موقعیت ناپایدار می‌باشد. از نظر سورنت و همکاران، اساساً یک سقوط، منشأی درونی دارد و شوک‌های بیرونی صرفاً به عنوان عوامل محرک (جرقه زننده)^{۱۷} به کار می‌رond [۲۲]. سورنت و همکاران دو ادعای ذیل را مطرح می‌کنند:

۱. وجود یک حباب را می‌توان به طور کمی پیش از پایان (انتقال) آن مشخص کرد.
۲. پایان حباب درجه‌ای از قابلیت پیش‌بینی را دارد [۱۲].

¹³- detecting
¹⁴- predicting

۳- زمان مجرانی (t_c) زمانی است که یک حباب به صورت یک شکست یا تغییر رژیم پایان می‌یابد.

¹⁶- log periodic power law (LPPL)model
¹⁷- triggering factors

برای تحقیق این دو ادعا، سورنت و جوهانسن^{۱۸} (از سال ۱۹۹۵ تا سال ۲۰۰۲)، ژو^{۱۹} (از سال ۲۰۰۲)، گروه FCO در ETH زوریخ (از سال ۲۰۰۸) جموعه‌ای از مدل‌ها و تکنیک‌ها را در مرزهای بین اقتصاد مالی^{۲۰}، مالیه رفتاری^{۲۱} و فیزیک آماری^{۲۲} توسعه دادند و مدل قانون توافقی تناوب لگاریتمی (LPPL)^{۲۳} را به عنوان ابزاری منعطف برای تشخیص حباب‌ها توسعه دادند که سقوط‌های بازار سهام را با قانون توافقی ویژه‌ای با نوسانات دوره‌ای (مطرح شده توسط سورنت و همکاران) مرتبط می‌سازد. مدل قانون توافقی تناوب لگاریتمی دو جزء اصلی دارد:

۱. رشد فوق‌نمایی^{۲۴}، که منجر به زمان بحرانی می‌شود، نشانه این است که رشد قیمت با دوام نیست (قانون توافقی)^{۲۵}.

۲. نوساناتی که به طور فزاینده با نزدیک شدن به زمان بحرانی سریع‌تر می‌شوند. (تناوب لگاریتمی)^{۲۶} این نوسانات عمدتاً با تغییرات سریع و آشکار عقاید سرمایه‌گذاران در این زمان (بحرانی) مرتبط است [۱۴].

سورنت و جوهانسن، لیو و مانتگنا نشان دادند که این مدل می‌تواند تغییر در نوسانات تناوب لگاریتمی قیمت y_t را که مربوط به سقوط‌های بازار (مالی) هستند، در طول زمان اندازه بگیرد [۷]. مزیت مهم روش LPPL نسبت به دیگر روش‌های ارزیابی ریسک مالی این است که این روش علاوه بر تشخیص حباب به پیش‌بینی تاریخ بحرانی حباب نیز می‌پردازد. مدل قانون توافقی تناوب لگاریتمی که در این پژوهش استفاده شده، به صورت ذیل می‌باشد:

$$Y_t = A + Bx^m + Cx^m \cos(\omega \ln x + \phi) \quad (1)$$

$$x = t_c - t$$

که در آن:

Y_t : قیمت یا لگاریتم قیمت در زمان t ، A : مقدار Y_t اگر حباب تا زمان بحرانی t_c ادامه پیدا کند، B : ضریب افزایش Y_t در واحد زمان تا زمان شکست می‌باشد، C : دامنه نوسانات، m : توان رشد قانون توافقی، ω : فرکانس نوسانات طی دوره حباب، t_c : زمان بحرانی، t : متغیر زمان ($t < t_c$) است. Bx^m شتاب سریع‌تر از نمایی قیمت‌ها را به واسطه مکانیزم‌های بازخور مثبت توضیح می‌دهد. عبارت $\cos(\omega \ln x + \phi)$ اصلاحی برای رفتار فوق‌نمایی است.

یک سری زمانی (مانند قیمت سهم) بین تاریخ‌های شروع (t_1) و پایان (t_2) در نظر گرفته می‌شود. از طریق تغییر t و t_2 می‌توان ثبات پارامترهای برآزنده را نسبت به نقاط شروع و پایان بررسی کرد

¹⁸- Sornette, Anders Johansen

¹⁹- Wei-Xing Zhou

²⁰- financial economics

²¹- behavioral finance

²²- statistical physics

²³- Log periodic power Law

²⁴- Super-exponential growth

²⁵- Power Law

²⁶- Log-Periodicity

برازش فرمول (۱) برای هر خط سیر قیمت، متناظر با انتخاب مقادیر مشخصی برای پارامترهای مدلی باشد؛ لذا با تغییر مناسب پارامترهای مدل می‌توان آن را بر هر جموعه داده ای برازش نمود. پس برای هر یک از پارامترهای مدل محدودیت هایی^(۲) در نظر گرفته می‌شود که بخشی از این محدودیتها قیود ریاضی جهت رفتار صحیحتابع LPPL و برخی دیگر از قیود مطرح شده مانند قیود $t_c > t_1$ و $t_c > t_2$ ، قیودی عقلانی برای مسئله می‌باشد؛

با این

$$\begin{aligned} t > 0, \quad t_c > t, \\ A > 0, \quad B < 0, \end{aligned} \quad \text{شرط، رژیم -} \quad (۲) \quad \text{هایی انتخاب}$$

می‌شوند که شتاب لگاریتم قیمت در آنها سریع‌تر از شتاب نمایی است و در نقطه شکست دارای شبیه و اگرا هستند.

برای برازش مدل LPPL روی داده‌های واقعی، نخست می‌بایست معیار برازنده‌گی مناسبی را تعریف نمود. بدین منظور تابع زیر که همان تابع جمیع مربعات خطاست، در نظر گرفته می‌شود:

(۳)

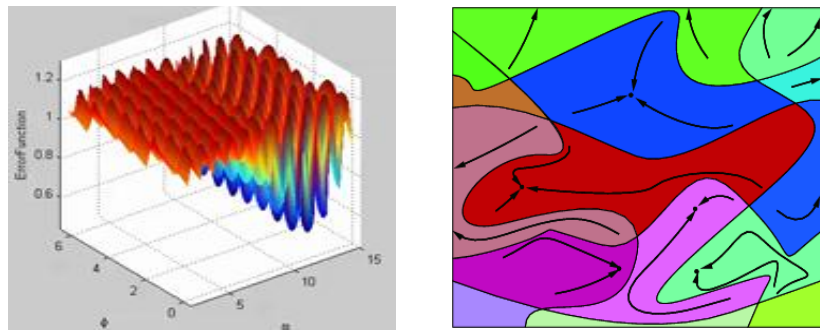
که در آن P قیمت واقعی و \hat{P} قیمتی است که از رابطه LPPL بدست می‌آید.

با توجه به رابطه (۱) و (۳) تابع فوق یک تابع غیرخطی می‌باشد؛ از این‌رو می‌بایست جهت برازش مدل LPPL روی داده‌ها، از روش‌های حل عددی معادلات غیر خطی استفاده نمود. یکی از روش‌های مناسب برای حل این معادلات روش لونبرگ- مارکوارت^{۲۷} است که یکی از کارامدترین الگوریتم‌های برازش منحنی‌ها می‌باشد. این روش، راه حلی عددی برای حداقل‌سازی توابع (عموماً غیرخطی) در تمام فضای پارامترهای تابع فراهم می‌کند. روش لونبرگ- مارکوارت، هم از پایداری و هم از سرعت مناسب برخوردار است. در واقع این روش ترکیبی از روش های گوس- نیوتون^{۲۸} و گرادیان- دیسنت^{۲۹} می‌باشد. ضعف بزرگ این روش‌ها اینست که در اولین جواب بدست آمده، متوقف می‌شوند، در واقع از دید مسئله مینیمم‌سازی، در نقطه مینیمم محلی، نه لزوماً مینیمم مطلق متوقف می‌شوند (شکل شماره ۱).

²⁷- Levenberg-Marquardt algorithm (LMA)

²⁸- Gauss-Newton

²⁹- Gradientdescent



شکل(۱۱)- حساسیت روش لونبرگ-
مارکوارت به انتخاب نقطه
اولیه و توقف الگوریتم در
نقاط مینیمم محلی

شکل(۱۲)- نمونه‌ای از نقاط
مینیمم محلی داده‌های شاخص
قیمت و بازده نقدی تهران

با توجه به شکل (۲)، شاخص قیمت و بازده نقدی تهران دارای تعداد زیادی نقطه مینیمم محلی است و امکان به دام افتادن و توقف در هر یک از این نقاط بسیار می‌باشد. جهت فائق آمدن به این نقطه می‌توان از روش‌هایی مانند جستجوی تصادفی، الگوریتم ژنتیک، شبیه سازی حرارتی، جستجوی منوعه و ... استفاده نمود. اما از آنها که ذات این الگوریتم‌ها گستته می‌باشد، در نتیجه جواب آنها نیز گستته خواهد بود و در حقیقت نزدیک به نقطه مینیمم و نه لزوماً خود آن نقطه می‌باشد. بدین جهت پس از اجرای این الگوریتم‌ها چند جواب برتر آنها به عنوان نقاط شروع به الگوریتم لونبرگ- مارکوارت داده می‌شود تا نقاط مینیمم متناظر هر یک بdst آیند، سپس بهترین جواب از بین آنها به عنوان مینیمم مطلق انتخاب می‌شود.

با توجه به این که دامن جستجوی جواب با تعداد متغیرهای مسئله به صورت توانی بزرگ می‌شود. لذا اگر بتوان به طریقی تعداد متغیرهای مسئله را کاهش داد، سرعت دستیابی به جواب و تعداد تکرارهای لازم برای آن به طرز چشمگیری کاهش می‌یابد. از این رو، با بازنگری در فرمول LPPL و نوشت آن به صورت ذیل؛

(۴)

ملحوظه می‌شود که معادله LPPL نسبت به سه پارامتر A , B و C ، با فرض داشتن ۴ پارامتر دیگر مدل $(m, \omega, t_c, \varphi)$ ، خطی می‌باشد. در نتیجه بهترین تخمین خطی برای A , B و C با داشتن ۴ پارامتر غیرخطی دیگر از رابطه زیر بdst می‌آید:

(۵)

با تغییر بازه زمانی داده‌های استفاده شده برای عمل برآذش و تکرار مراحل بالا برای هر بازه، رفتار آماری هر پارامتر معین شده و تخمینی از t_c بdst می‌آید. این تغییر بازه زمانی برای آزمودن حساسیت پارامترها نسبت به فواصل برآذش متغیرها $[t_1 \text{ و } t_2]$ است (در واقع تغییرات پارامترهای برآذش را با تغییر بازه زمانی می‌آزمايد). بدین جهت

استراتژی ثابت بودن یک نقطه و متغیر بودن نقطه دیگر اتخاذ می‌شود. به طور مثال، اگر t_2 ثابت باشد، پنجره زمانی بر حسب t_1 که با یک گام ۵ روزه به t_2 نزدیک می‌شود؛ منقبض می‌گردد. اگر t_1 ثابت باشد، پنجره زمانی بر حسب t_2 که با یک گام ۵ روزه از t_1 دور می‌شود؛ بسط می‌یابد. از بین برآذش‌های مختلف، برآذش‌هایی که شروط LPPL را برآورده می‌کنند، انتخاب می‌شوند. نسبت این برآذش‌ها به کل برآذش‌ها و پراکندگی پارامترهای بدست آمده، ملاک صحت و تطابق داده‌ها با مدل را ارائه می‌کند.

۴-۲-تحلیل طیفی: Lomb

برآذش لگاریتم قیمت‌ها با استفاده از فرمول (۱) حکایت از وجود تناوب لگاریتمی با فرکانس زاویه ای ثابت و پایدار ω می‌کند. به منظور اثبات این ویژگی از تحلیل طیفی Lomb روی داده‌های متناوب لگاریتمی بی‌رونده شده و مشتق H و q استفاده می‌شود. با داشتن یک سری زمانی، تحلیل Lomb، یک جموعه از فرکانس‌ها^(۱) و توان مرتبط با هر فرکانس یعنی $P_N(\omega)$ را ارائه می‌دهد. در این پژوهش، فرکانس با توان حد اکثر به عنوان فرکانس Lomb یعنی ω_{Lomb} در نظر گرفته می‌شود.
رویکرد پارامتری

۴-۳-دترنده (رونده ای پارامتری)

با فرض این‌که داده‌های واقعی مطابق با مدل LPPL رفتار می‌کنند، سری پسماند داده‌های واقعی از طریق فرمول ذیل رونده ای می‌شود:

(۶)

که در آن:

A و B و m و t_c از طریق برآذش رابطه (۱) روی داده‌های بدست آمده است. بعد از اجرای تحلیل طیفی Lomb روی سری پسماند بدست آمده با مقیاس زمانی $\ln(t_c - t)$ ، چنانچه مؤلفه غالب طیف حاصل دارای واریانس اندک حول یک فرکانس و هارمونیک‌های آن باشد، وجود تناوب لگاریتمی را اثبات می‌شود. در چنین شرایطی، اگر مقدار ω_{Lomb} با مقدار ω_{fit} بدست آمده از برآذش متناسب باشد، فرض اولیه (داده‌های واقعی مطابق با مدل LPPL رفتار می‌کنند) صحیح است و حباب وجود دارد، در غیر این‌صورت مدل توصیف‌کننده داده‌ها نیست. [۱۲] مقدار $P_N(\omega_{Lomb})$ بدست آمده با احتمال هشدار اشتباه ^{۳۰} ارتباط مستقیم دارد. پرس و همکاران (۱۹۹۶) [۱۸] و ژو و سورنت (۲۰۰۲) [۲۴] به منظور محاسبه احتمال این هشدار اشتباه از دامنه‌ای از مدل‌ها (از نویز سفید ناهمبسته تا نویز با همبستگی وسیع) استفاده کرده و داده‌هایی مصنوعی ایجاد نموده‌اند. آنها احتمال هشدار اشتباه برای نویز سفید را $Pr \ll 10^{-5}$ دانستند و چنانچه داده‌ها دارای رفتارهای قانون توافقی با توانی در حدود $2-4$ و همبستگی وسیع باشند، احتمال هشدار اشتباه را $Pr \ll 10^{-2}$ برآورد نمودند [۱۲].

³⁰- false alarm

۴-۴ تحلیل ناپارامتری (H,q)

مشتق (H,q) قیمت‌های لگاریتمی جهت شناسایی مؤلفه های تناوب لگاریتمی با موقیت برای سقوط‌های مالی و گستگی‌های جرانی استفاده شده است [۲۳ و ۲۵]. تحلیل (H,q) تعمیمی از تحلیل q است که ابزاری برای شرح تغییر ناپذیری مقیاس گستته^{۳۱} می‌باشد. مشتق (H,q) به شکل ذیل تعریف می‌شود:

(۷)

در این پژوهش، H را در دامن $[0,1]$ و q را در دامن $[1,1]$ تغییر می‌دهیم و مشتق (H,q) را با t_c معین بدهست می‌آوریم، سپس تحلیل Lomb را روی سری‌های حاصل اجرا می‌کنیم و پراکندگی ω_{Lomb} حاصل را بررسی می‌نماییم. اگر فرکانس‌های Lomb علاوه بر نزدیکی فرکانس صفر در همسایگی یک فرکانس خاص و هارمونیک های آن متتمرکز شوند، دلیلی بر وجود تناوب لگاریتمی است. [۱۲] مزیت تحلیل H,q عدم استفاده از پارامترهای مدل برآشش شده در تحلیل طیفی Lomb می‌باشد.

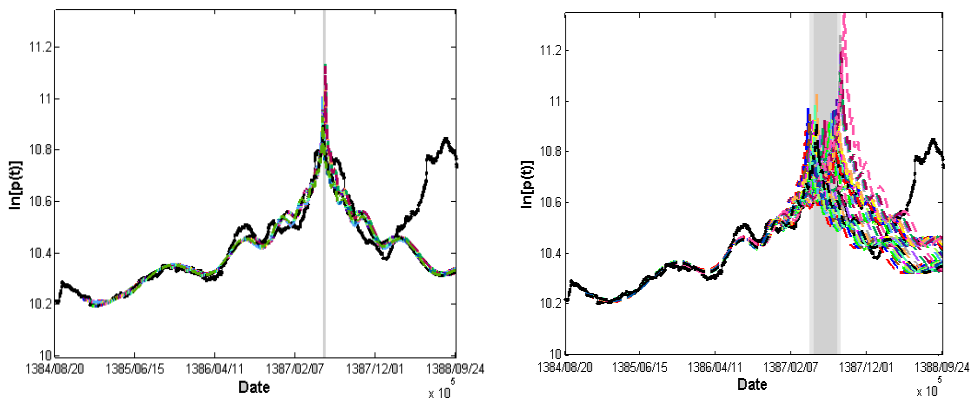
۵-نتایج آزمون حباب سال‌های ۱۳۸۷-۱۳۸۴

۵-۱- برآزش LPPL با تغییر اندازه پنجره‌ها:

۱. پنجره‌های انقباضی با تاریخ پایان ثابت $t_2=1387/5/12$ و تاریخ شروع t_1 که از $1384/11/9$ تا $1385/5/16$ با گامی ۲ روزه (۲ روز کاری) افزایش می‌یابد.
۲. پنجره‌های انبساطی با تاریخ شروع ثابت $t_1=1384/10/20$ و تاریخ پایان t_2 که از $1387/1/14$ تا $1387/5/8$ با گامی ۲ روزه (۲ روز کاری) افزایش می‌یابد.

در کل تعداد پنجره‌های برآشش شده ۱۰۳ می‌باشد (۶۲ برآشش در پنجره‌های انقباضی و ۴۰ برآشش در پنجره‌های انبساطی اجرا شده است). پس از اجرای برآزش، پنجره‌ها با شروط LPPL فیلتر می‌شوند، در نهایت تعداد پنجره‌های منطبق با شروط LPPL، ۶۲ در پنجره‌های انقباضی و ۴۰ در پنجره‌های انبساطی می‌باشد. شکل‌های (۴-الف) و (۴-ب) نتایج برآشش‌های کل برآشش‌ها و پراکندگی پارامترهای بدست آمده (%۹۹)، صحت و تطابق داده‌ها با مدل را ارائه می‌کند.

^{۳۱}- discrete scale invariance



ب- پنجره های انقباضی
۱۳۸۷/۵/۱۳ - ۱۳۸۷/۵/۲۲
٪۹۵ / ٪۵ : کوانتیل
۱۳۸۷/۵/۱۳ - ۱۳۸۷/۵/۲۲
٪۸۰ / ٪۲۰ : کوانتیل

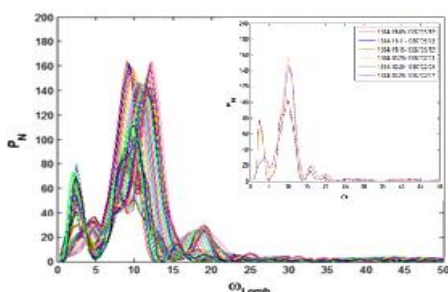
الف- پنجره های انبساطی
۱۳۸۷/۴/۱۴ - ۱۳۸۷/۸/۱۵
٪۹۵ / ٪۵ : کوانتیل
۱۳۸۷/۴/۲۹ - ۱۳۸۷/۸/۲
٪۸۰ / ٪۲۰ : کوانتیل

شکل (۴)

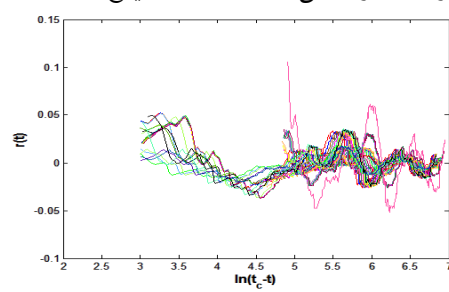
ناحیه روشنتر، محدوده ٪۹۵ / ٪۵ تاریخ سقوط به دست آمده (پیش‌بینی شده) و ناحیه تیره‌تر، محدوده ٪۲۰ / ٪۸۰ تاریخ مذکور را نشان می‌دهد. همان‌گونه که در شکل دیده می‌شود تاریخ سقوط ۱۳۸۷/۵/۱۴ در این بازه قرار می‌گیرد. در این تاریخ شاخص قیمت و بازده نقدی بورس اوراق بهادار تهران به نقطه اوج خود (۴۹۲۳۸.۸۰) رسید و پس از آن سقوط (٪۴۲) خود را آغاز نموده و تا پایان سال ۸۷ ادامه یافت.

۵-۲- تحلیل Lomb و رویکرد پارامتریک

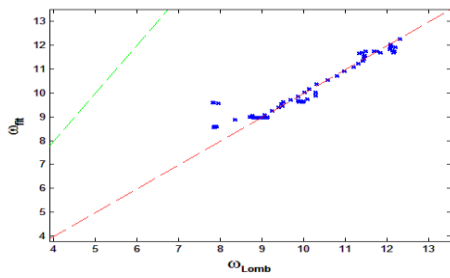
همان‌گونه که در شکل (۶) دیده می‌شود طیف داده‌های مذکور در نزدیکی یک فرکانس (و هارمونیک آن) متمرکز شده است که شاهدی بر وجود تناوب لگاریتمی می‌باشد. دوره‌نگار Lomb (زوج مرتب‌های $(\omega_{\text{Lomb}}, P_{\text{N}}^{\max})$) در شکل (۶) نشان داده شده است. کوچکترین P_{N}^{\max} (≈ 50) است که ارتباط با هشدار اشتباه را مشخص می‌کند. همان‌گونه که در شکل (۸) مشهود است، اکثر جفت‌های $(\omega_{\text{fit}}, \omega_{\text{Lomb}})$ روی خط $y=x$ قرار گرفته اند که بیانگر تطابق میان $(\omega_{\text{fit}}, \omega_{\text{Lomb}})$ می‌باشد. لذا فرض اولیه (داده‌های واقعی مطابق با مدل LPPL رفتار می‌کنند) صحیح است.



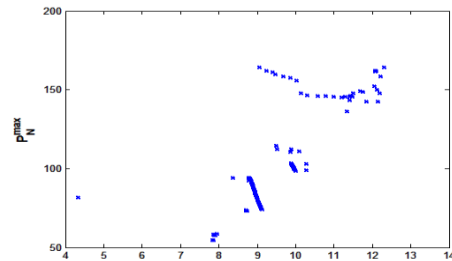
شکل (۶) - طیف Lomb روی پسماندهای دترنده شده



شکل (۵) - پسماندهای دترنده شده



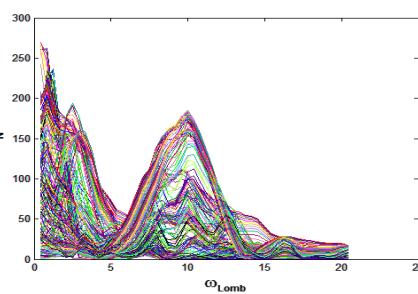
شکل (۸) - توزیع زوج مرتباهای $(\omega_{\text{fit}}, \omega_{\text{Lomb}})$



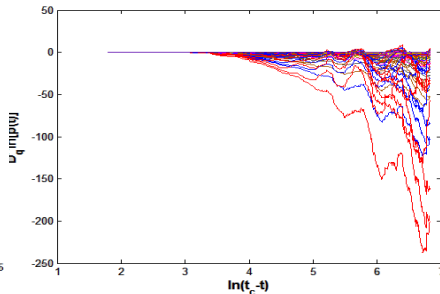
شکل (۷) - توزیع زوج مرتباهای $(\omega_{\text{Lomb}}, P_N^{\max})$

۵-۳- تحلیل Lomb، روش ناپارامتریک (H و q) :

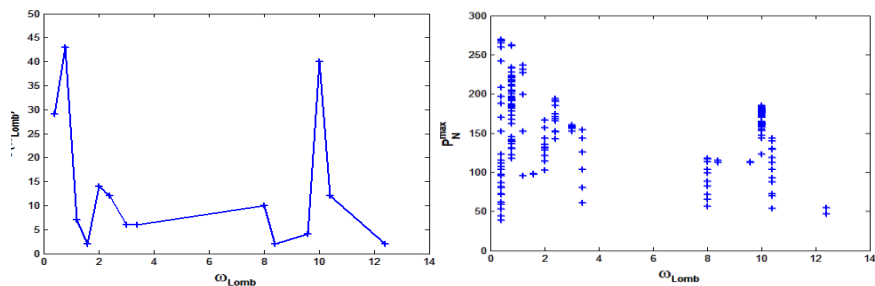
در رابطه (۷)، $f(x) = \ln p(t)$ و $x = t_c - t$ قرار داده و با فرض t_c برابر ۱۳۸۷/۵/۱۴ (نقطه اوج مشاهده شده) برای هر زوج $(H$ و q) مشتق H و q محاسبه می‌نمائیم (شکل ۹). سپس طیف آن با استفاده از تحلیل طیفی Lomb به دست می‌آوریم (شکل ۱۰). بالاترین نقطه اوج دوره‌نگار به دست آمده را به عنوان P_N^{\max} و فرکانس آن را به عنوان ω_{Lomb} انتخاب می‌کنیم، بدیهی است که زوج $(\omega_{\text{Lomb}}, P_N^{\max})$ تابع H و q می‌باشد. با تغییر $q \in [0.1, 0.9]$, $H \in [-1, 1]$ (شکل ۱۱) در شکل بدست آمده ۲ خوشة غالب قابل تشخیص است؛ فرکانس مرکزی خوشة اول $\omega_{\text{Lomb}}^0 \approx 1.5$ ، خوشة دوم $\omega_{\text{Lomb}}^1 = 9.8$ می‌باشد. مقدار کوچک $\ln(t_c - t)$ داده‌ها قرار می‌گیرد. بنابر آزمون‌های متعدد انجام شده روی داده‌های ساختگی (Huang et al., 2000) این نقاط اوج با نوسانات جزئی محتمل‌تر سیگنال نویز یا (و) روند عمومی داده‌ها در مشتق H و q مرتبط می‌شوند. وجود خوشة دوم (و هارمونیک آن) دلیلی بر وجود تناوب لگاریتمی در داده‌های می‌باشد [۲۳].



شکل (۱۰) - طیف Lomb



شکل (۹) - $D_q^H[\ln(p_t)]$



شكل (١٢) $O(\omega_{\text{Lomb}})$

شكل (١١) $\omega_{\text{Lomb}} - P_N^{\text{Lomb}}$

۵-۴- نتیجه‌گیری

در این پژوهش از مدل LPPL برای تشخیص و تخمین زمان شکست حباب قیمت سهام در دوره ۱۳۸۷-۱۳۸۴ در بورس اوراق بهادار تهران استفاده شده است. همچنین جهت اطمینان از وجود تناوب لگاریتمی در داده‌ها، تحلیل طیفی Lomb با روش‌های دترند و مشتق $D_q^{Hf(x)}$ روی داده‌ها اجرا شده است. با توجه به نتایج این آزمون‌ها در بازه زمانی ۱۳۸۷-۱۳۸۴ پنجره‌ها با مدل به خوبی برازش شده‌اند و همچنین تحلیل طیفی Lomb و تحلیل $D_q^{Hf(x)}$ به خوبی وجود تناوب لگاریتمی را تأیید کرده‌اند، این ناحیه از داده‌ها رفتاری مطابق با مدل LPPL دارد. لذا با توجه به مدل مذکور، وجود حباب با قطعیت تشخیص داده شده است و فرض پژوهش مبنی بر وجود حباب تأیید می‌شود.

منابع فارسی

۱. صمدی سعید، واعظ بروزانی محمد، قاسمی محمد رضا، تحلیل رفتاری شکل گیری حباب قیمت در بازار سرمایه (مطالعه موردی بورس اوراق بهادار تهران ۱۳۷۶-۱۳۸۷). مجله پژوهشنامه اقتصادی، ۱۳۸۹، شماره ۲۹، ص ۲۷۳ تا ۲۹۷.
۲. عباسیان عزت‌الله، محمودی وحید، فرزانگان الهام، شناسایی حباب قیمتی سهام عادی بورس اوراق بهادار تهران با استفاده از مدل ارزش‌حال. فصلنامه بررسی‌های حسابداری و حسابرسی، ۱۳۸۹، شماره ۶۰، دوره ۱۷، ص ۷۵ تا ۹۲.
۳. فدایی نژاد محمد اسماعیل، عشقی مجید، بررسی وجود حباب در بورس اوراق بهادار ایران. مجله بورس اوراق بهادار، ۱۳۸۵، شماره ۵۳، ص ۴۴ تا ۴۹.
۴. واعظ محمد، ترکی لیلا، حباب قیمت‌ها و بازار سرمایه ایران، ۱۳۸۷، جلد ۳۱، شماره ۳، ص ۱۹۵-۲۰۷.
5. Bastiaensen, K., Cauwels, P., Sornette, D., Woodard, R., Zhou, W.-X., 2009. The Chinese Equity Bubble: Ready to Burst, <http://arxiv.org/abs/0907.1827>.
6. Boucher, Ch., (2003); Testing for Rational Bubbles with Time Varying Risk Premium and Non-Linear Cointegration: Evidence from the US and French Stock Markets; Université Paris-Nord, CEPN, France, Version: 26 November 2003 (2).
7. Bree, D., Joseph, N. L., 2010, Fitting the Log Periodic Power Law to financial crashes: a critical analysis, arXiv:1002.1010v1 [q-fin.ST]
8. Brooks, C., Katsaris, A., 2006, Speculative Bubble in the S&P500: Was the Tech Bubble Confined to the Tech Sector?ICMA Centre Discussion Papers in Finance DP2006-07, pp: 1-32.
9. Cajueiro, D. O., Tabak, B. M., 2006, Testing for rational bubbles in banking indices, Physica A 366 , pp: 365 – 376.
10. Chan, L. H., Woo, K.-Y., 2008, Testing for stochastic explosive root bubbles in Asian emerging stock markets, Economics Letters 99, pp: 185 – 188.
11. Daye, Zh. J., Ismen, K., Malabet, M. P., Misailidou, M., Murra, A., Yook, s.-J., 2005, Introduction to Financial Bubble In Financial Bubbles, S. Jutur, ICFAI University Press, pp: 1-17
12. Jiang, Z.-Q., Zhou, W.-X., Sornette, D., Woodard, R., Bastiaensen, K., Cauwels, P., 2010, Bubble diagnosis and prediction of the 2005–2007 and 2008–2009 Chinese stock market bubbles, Journal of Economic Behavior and Organization 74, 149–162.

13. Koustas, Z., Serletis, A., 2005, Rational bubbles or persistent deviations from market fundamentals?, Journal of Banking & Finance 29, pp: 2523–2539.
14. Liberatore, V., 2011, Computational LPPL Fit to Financial Bubbles, [arXiv:1003.2920v2\[q-fin.CP\]](https://arxiv.org/abs/1003.2920v2)
15. Lin, L., Ren, R.-E., Sornette, D., 2009. A consistent model of ‘explosive’ financial bubbles with mean-reversing residuals, Swiss Finance Institute, arXiv:0905.0128,<http://papers.ssrn.com/abstract=1407574>
16. Nunes, M., Silva, S. D., 2008, Explosive and periodically collapsing bubbles in emerging stock markets, Economics Bulletin, Vol. 3, No. 46 pp. 1-18
17. Pele, D. T., Mazurencu-Marinescu, M., 2012, Modelling stock market crashes: the case of Bucharest Stock Exchange, Procedia - Social and Behavioral Sciences 58, 533 – 542.
18. Press, W.H., Teukolsky S. A., Vetterling W.T., Flannery B.P., 1988, 1992, Numerical Recipes in C :The Art of Scientific Computing(Second Edition), Cambridge University Press, Cambridge, pp: 575-584
19. Siegel, J. J., 2003, What Is an Asset Price Bubble? An Operational Definition, European Financial Management, Vol. 9, No. 1, pp: 11-24.
20. Shiller, R. J., 1981. Do stock prices move too much to be justified by subsequent changes in dividends? The American Economic Review 71(3), pp: 421–436.
21. Sornette, D., 2003a, Critical market crashes, Physics Reports 378, pp: 1–98.
22. Sornette, D., 2003b, Why Stock Markets Crash: Critical Events in Complex Financial Systems, Princeton University Press, Princeton U.K., PP: 1-421.
23. Zhou, W.-X., Sornette, D., 2002b. Generalized q -analysis of log-periodicity: applications to critical ruptures. Physical Review E 66, 046111.
24. Zhou, W.-X., Sornette, D., 2002c. Statistical significance of periodicity and log-periodicity with heavy-tailed correlated noise. International Journal of Modern Physics C 13, 137–170.
25. Zhou, W.-X., Sornette, D., 2003b. Nonparametric analyses of log-periodic precursors to financial crashes. International Journal of Modern PhysicsC 14, 1107–1125
26. Zhou, W.-X., Sornette, D., 2009, A case study of speculative financial bubbles in the South African stock market 2003-2006, Physica A 388, pp: 869-880
27. <http://www.merriam-webster.com>